

## ДОПОЛНИТЕЛЬНЫЙ ЭФФЕКТИВНЫЙ МЕХАНИЗМ ВОЗБУЖДЕНИЯ МНОГОЗАРЯДНЫХ ИОНОВ В ПЛОТНОЙ ПЛАЗМЕ

Е. Н. Рагозин

УДК 533.92

Исследован новый эффективный механизм возбуждения многозарядных ионов в плотной плазме, обусловленный радиационно-столкновительной ионизацией автоионизационных состояний иона предыдущей кратности ионизации ( $X_Z(a_0)+e \rightarrow X_{Z-1}^{**}(a\ n l) - e \rightarrow X_Z^*(a_l)+e$ ).

При электрон-ионных столкновениях может происходить захват электрона ионом с образованием дважды возбужденного автоионизационного состояния в ионе предыдущей кратности ионизации. В разреженной плазме указанный захват с последующим радиационным распадом, проходящий по схеме  $X_Z(a_0) + e \rightarrow X_{Z-1}^{**}(a\ n l) \rightarrow X_{Z-1}^*(a_0\ n l) + h\nu$ , называется диэлектронной рекомбинацией. Столкновения с электронами разрушают высоковозбужденные состояния  $a_0\ n l$  ( $X_{Z-1}^*(a_0\ n l) - e \rightarrow X_Z(a_0) + e$ ), поэтому эффективная скорость диэлектронной рекомбинации как процесса, участвующего в формировании ионизационного баланса, зависит от электронной плотности  $N_e / l$ . При дальнейшем увеличении  $N_e$  радиационно-столкновительная ионизация (РСИ) состояний  $a\ n l$  начинает конкурировать с радиационными переходами  $a \rightarrow a_0$  и автоионизацией. В результате образуется ион Z в возбужденном состоянии:  $X_{Z-1}^{**}(a\ n l) - e \rightarrow X_Z^*(a) + e$ . Пунктирная стрелка обозначает последовательность элементарных процессов, приводящих к РСИ. Как будет показано ниже, указанный эффективный механизм возбуждения ионов в плотной плазме может в несколько раз превосходить скорость прямого возбуждения из основного состояния. Для определения роли дополнительного механизма возбуждения, обусловленного захватом электрона ионом на автоионизационное состояние иона предыдущей кратности, необходимо знание времени РСИ с возбужденных состояний (ВС).

Исследование динамики РСИ с ВС проводилось нами в рамках нестационарной радиационно-столкновительной 15-уровневой модели H- и He-подоб-

ного иона, описанной в /2, 3/. Для этого находилась нестационарная функция Грина  $G_p(n, \tau)$ , т. е. рассчитывалась эволюция во времени распределения относительных заселенностей  $a_Z(n)$  при постоянных  $N_i$ ,  $T_e$  и начальном  $\delta$ -образном распределении заселенностей по уровням  $a(n) = \delta_{np}$ . Интегрирование системы 32 кинетических уравнений проводилось методом Рунге – Кутта на ЭВМ PDP-11/70. Результаты расчетов, выполненных для иона CVI, обобщаются на случай Н-подобных ионов с произвольным  $Z$ , если рассматривать их в приведенных переменных  $\Theta = T_e/Z^2 Ry$ ,  $\eta = N_e/Z^7$  и  $\tilde{\tau} = \tau Z^4$ . Знание функции Грина дает, в частности, время  $\tau_p^i$  и вероятность  $G_p^i$  РСИ с ВС. Время  $\tau_p^i$  определяется нами как время, за которое концентрация ядер достигает  $1 - \exp(-1) \approx 0,63$  от своего асимптотического значения  $G_p^i$ . Вероятность  $G_p^i$  совпадает со значением  $G_p(Z+1, \tau)$  при временах  $\tau \gg \tau_p^i$ , где  $Z+1$  обозначает ион следующей кратности ионизации.

[CVI]

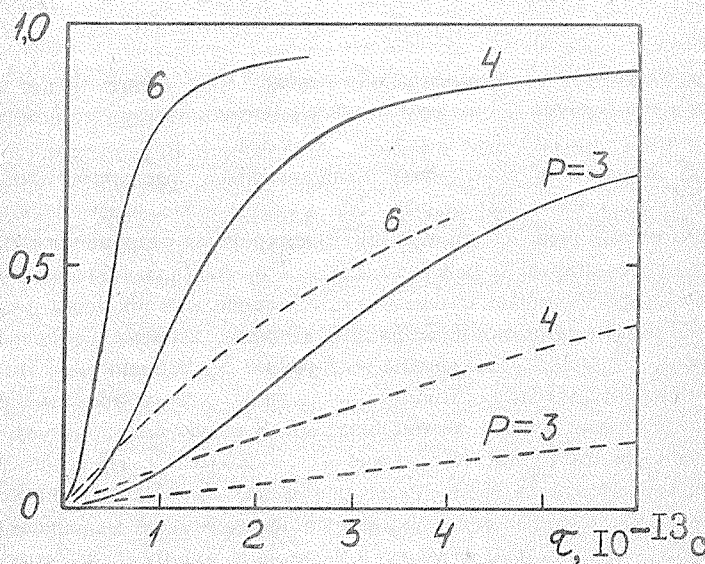


Рис. 1. Зависимость  $G_p(\text{CVI}, \tau)$  для  $p = 3, 4, 6$  ( $T_e = 90$  эВ,  $N_i = 2 \cdot 10^{19} \text{ см}^{-3}$ ). Пунктирные линии – ход процесса при наличии лишь прямой ионизации с уровнями  $p = 3, 4, 6$ , т.е.  $1 - \exp(-N_e c^i(p) \tau)$ .

На рис. 1 показана зависимость от времени концентрации ядер  $G_p(CVII, \tau)$  для  $p = 3, 4$  и  $6$ , (при  $\tau = 0 G_p(n, 0) = \delta_{np}$ ). Пунктирными линиями показан ход процесса при наличии лишь прямой ионизации с уровней  $p = 3, 4$  и  $6$ , т. е. зависимость  $1 - \exp(-N_e c^i(p)\tau)$ . Как известно, с увеличением  $n$  скорость возбуждения  $c(n, n+1)$  растет быстрее, чем скорость ионизации  $c^i(n)$  ( $c(n, n+1) \propto n^4$ ,  $c^i(n) \propto n^2$ ). Из-за этого, прежде чем оказаться в состоянии непрерывного спектра, электрон успевает совершить восходящее движение по ВС. Поэтому РСИ с ВС идет за время  $\tau_p^i$  существенно меньшее, чем время  $[N_e c^i(p)]^{-1}$ , обусловленное прямой ионизацией. Значения  $N_e \tau_p^i$  для  $p = 2-8$ , определенные из численных расчетов, представлены в табл. 1. Они сопоставлены со скоростью прямой ионизации  $c^i(p)$  и столкновительного увода  $c(p, p+1)$ . Для низких уровней ( $p = 2, 3$ )  $\tau_p^i$  оказывается порядка  $[N_e c(p, p+1)]^{-1}$ . Для более высоких уровней, где отличие движения электрона по уровням от диффузионного проявляется в меньшей степени,  $\tau_p^i \propto p^{-2}$ , причем время РСИ меньше времени прямой ионизации в 6-7 раз. Для ионов  $[H]_Z$  время РСИ для  $p = 2, 3$  составляет  $\tau_2^i = 1,1 \cdot 10^6 Z^3 N_e^{-1}$  и  $\tau_3^i = 2,09 \cdot 10^5 Z^3 N_e^{-1}$ .

Таблица 1

Сравнение скорости РСИ со скоростью прямой ионизации и скоростью столкновительного увода для иона CVI

P	2	2	3	4	5	6	8
$N_e \tau_p^i c \cdot \text{см}^{-3}$	2,1+8	2,5+8	4,5+7	1,8+7	1,0+7	6,4+6	3,6+6
$[c^i(p)]^{-1}, c \cdot \text{см}^{-3}$	1,3+9	3,2+9	3,9+8	1,3+8	6,4+7	4,2+7	2,2+7
$[c(p, p+1)]^{-1}, c \cdot \text{см}^{-3}$	2,6+8	3,3+8	4,2+7	1,2+7	4,4+6	2,1+6	6,1+5
$T_e, \text{эВ}$	198,5			90			

Эффективная скорость возбуждения иона, обусловленного захватом электрона ионом на автоионизационное состояние иона предыдущей кратности с последующей РСИ, дается выражением

$$c_{ef}(a_0, a) = \sum_{nl} W(a_0, anl) \frac{\tilde{W}_n^i}{A(a, a_0) + W_a + \tilde{W}_n^i} \quad (1)$$

(предполагается, что уровни  $anl$  с различными  $l$  заселены пропорционально их статистическому весу), где  $W(a_0, anl)$  — вероятность захвата в единицу времени на автоионизационный уровень  $anl$  иона  $Z = 1$ ;  $A$ ,  $W_a$  и  $\tilde{W}_n^i = (\tau_n^i)^{-1}$  — вероятности в единицу времени соответственно радиационного перехода, автоионизации и РСИ. В пределе  $N_e \rightarrow \infty$  величина  $C_{\text{ef}}$  приближается к суммарной скорости захвата на автоионизационные уровни  $\tilde{\kappa}(a_0, a) = \sum_{nl} W(a_0, anl)$ . Используя универсальные соотношения между скоростями прямых и обратных процессов, выразим скорость захвата  $\tilde{\kappa}$  через вероятность автоионизации

$$\tilde{\kappa}(\gamma) = \frac{g_{Z-1}(\gamma)}{g_Z(a_0)} \frac{4\pi^{3/2} a_0^3}{(Z-1)^3 \Theta^{3/2}} e^{-\beta} W_a(\gamma, a_0), \quad (2)$$

где  $g_{Z-1}(\gamma)$  — статистический вес уровня;  $\gamma = anl$ ;  $a_0 = \frac{\hbar^2}{me^2}$ ;  $\Theta = \frac{T_e}{(Z-1)^2 Ry}$ ;  $\beta = \frac{E(\gamma) - E(a_0)}{T_e}$

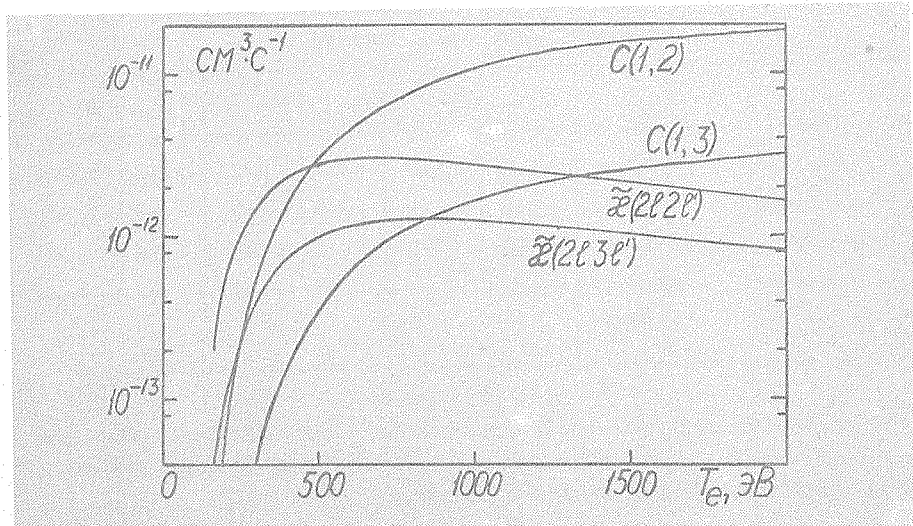


Рис. 2. Скорость захвата  $\tilde{\kappa}$  на автоионизационные уровни  $2l2l'$  и  $2l3l'$  иона Mg XII и бори-кулоновская скорость возбуждения с  $(1,n)$  уровней 2,3 иона Mg XII из основного состояния.

На рис. 2 представлена полная скорость захвата на уровня конфигурации  $2l2l'$  и  $2l3l'$  иона MgXI. Вероятности автоионизации взяты из [4]. Для сравнения приведены борн-кулоновские скорости возбуждения уровней  $n = 2, 3$  иона MgXII по данным [5]. Как видно, скорость захвата на уровня  $2l2l'$  и  $2l3l'$  превосходит скорость возбуждения уровня  $n = 2$  соответственно при  $T_e < 500$  и  $T_e < 250$  эВ.

Рассмотрим зависимость  $c_{\text{ef}}(1,2)$  от  $N_e$ . Имея в виду ионы  $[\text{H}]_Z$  с  $Z < 20$ , для которых  $A(2,1) < W_a(2l2l')$ , находим эффективную скорость возбуждения уровня  $n = 2$ , обусловленную захватом на уровня  $2l2l'$  (3) и  $2l3l'$  (4)

$$c_{\text{ef}}^{2l2l'}(1,2) = \frac{\tilde{\kappa}(2l2l')(\tau_2^1)^{-1}}{W_a(2l2l') + A(2,1)} = \frac{\tilde{\kappa}(2l2l') N_e / (Z-1)^3}{5,6 \cdot 10^{19} + N_e / (Z-1)^3} \quad (3)$$

$$\begin{aligned} c_{\text{ef}}^{2l3l'}(1,2) &= \frac{\tilde{\kappa}(2l3l')(\tau_3^1)^{-1}}{W_a(2l3l') + A(2,1) + (\tau_3^1)^{-1}} = \\ &= \frac{\tilde{\kappa}(2l3l') N_e / (Z-1)^3}{2,46 \cdot 10^{18} + 9,8 \cdot 10^{13} Z^4 + N_e / (Z-1)^3} \end{aligned} \quad (4)$$

Согласно (3), захват на уровне  $2l2l'$  дает вклад в  $c_{\text{ef}}(1,2)$  при  $N_e \sim 5 \cdot 10^{19} \times (Z-1)^3 \text{ см}^{-3}$ . Захват на уровне  $2l3l'$  дает вклад уже при существенно более низких  $N_e \sim (2,5 \cdot 10^{18} + 9,8 \cdot 10^{13} Z^4) (Z-1)^3 \text{ см}^{-3}$ . Как видно, указанный механизм возбуждения многозарядных ионов должен проявляться в лазерной плазме, для которой характерны значения  $N_e \sim 10^{18} - 10^{23} \text{ см}^{-3}$ .

Поступила в редакцию 10 октября 1984 г.

## ЛИТЕРАТУРА

- Бейгман И. Л., Вайнштейн Л. А., Чичков Б. Н. ЖЭТФ, 80, 964 (1981).
- Рагозин Е. Н. Краткие сообщения по физике ФИАН, № 1, 28 (1984).
- Рагозин Е. Н. Препринт ФИАН № 45, М., 1984.
- Vainshtein L. A., Safronova U. I. Atom. Data and Nucl. Data Tables, 25, 311 (1980).
- Вайнштейн Л. А., Собельман И. И., Юков Е. А. Возбуждение атомов и уширение спектральных линий, М., Наука, 1979.